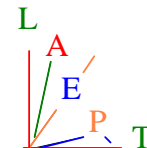


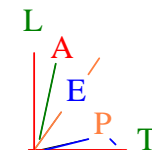
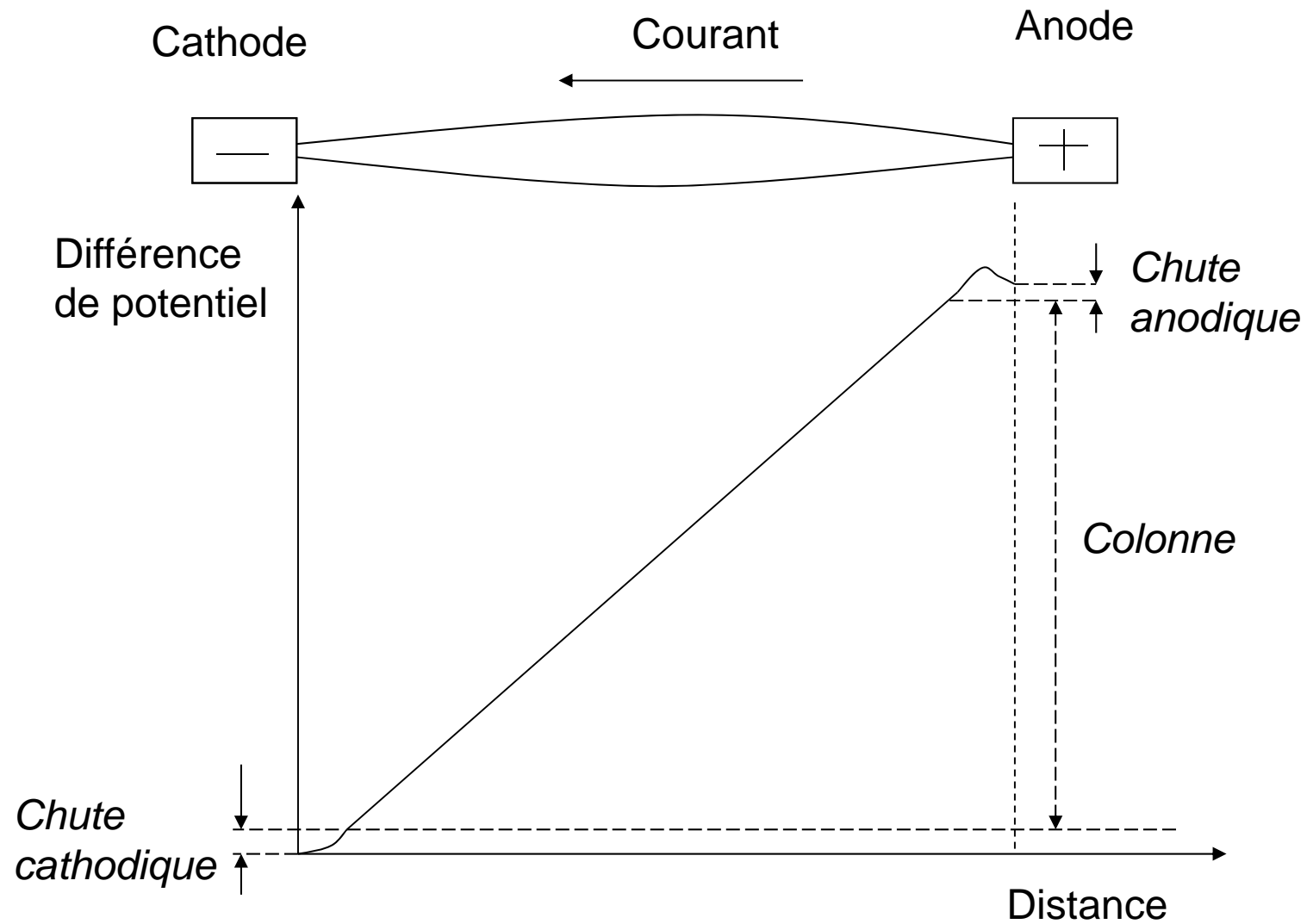
Étude expérimentale de l'apparition des taches cathodiques et anodiques lors de la création d'un arc électrique

ABBAOUI M'hammed

PERISSE Frédéric

LEFORT André





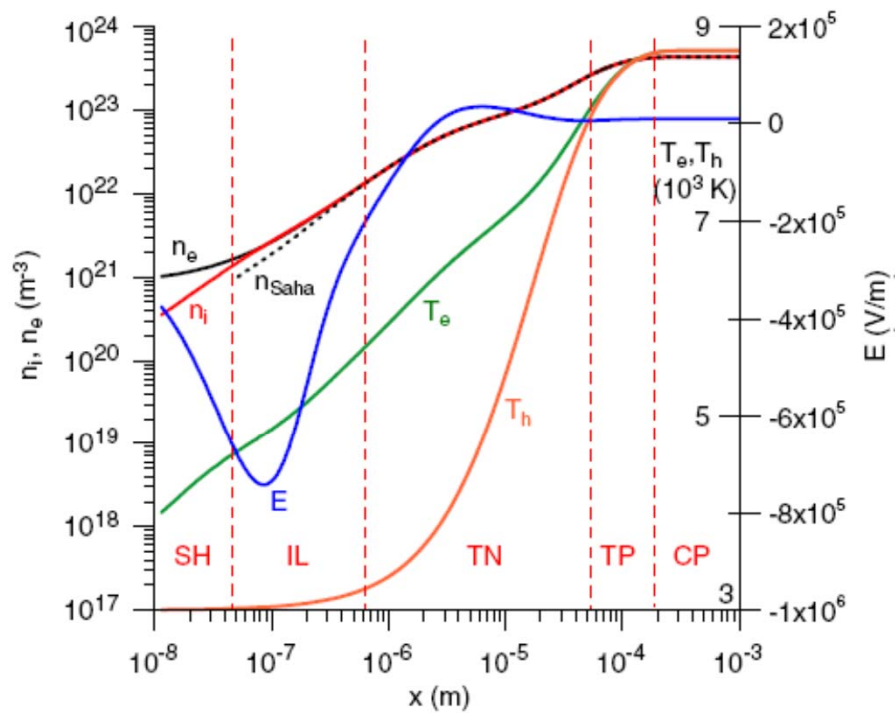


Figure 2. Distribution of parameters in the near-anode non-equilibrium layer. Hg plasma, W anode, $p = 30$ bar, $j = 10^7$ A m⁻², $T_w = 3000$ K.

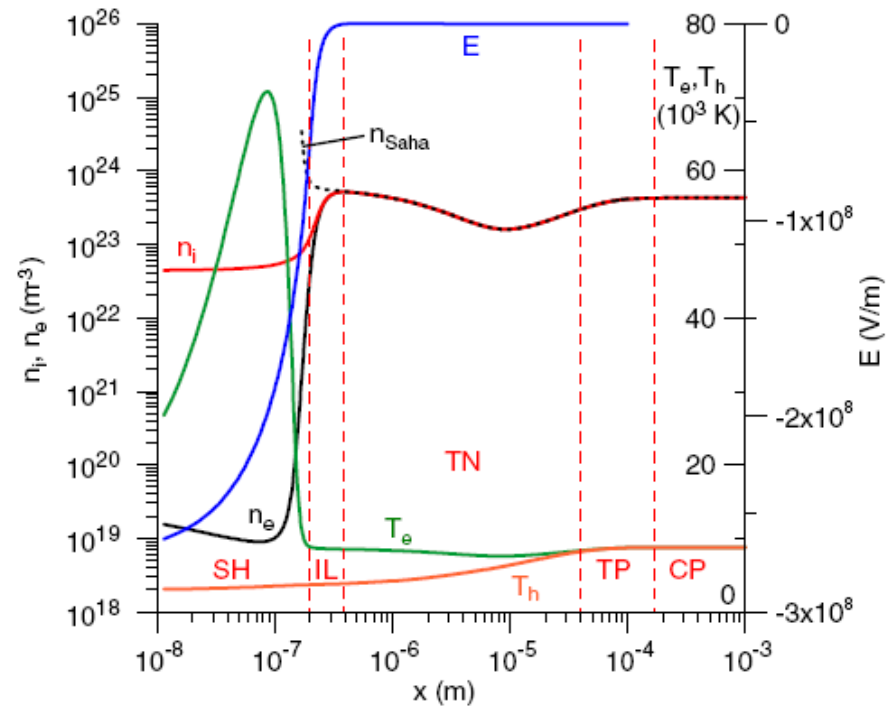


Figure 3. Distribution of parameters in the near-cathode non-equilibrium layer. Hg plasma, W cathode, $p = 30$ bar, $j = 10^7$ A m⁻², $T_w = 3000$ K.

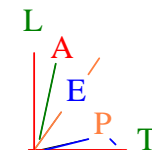
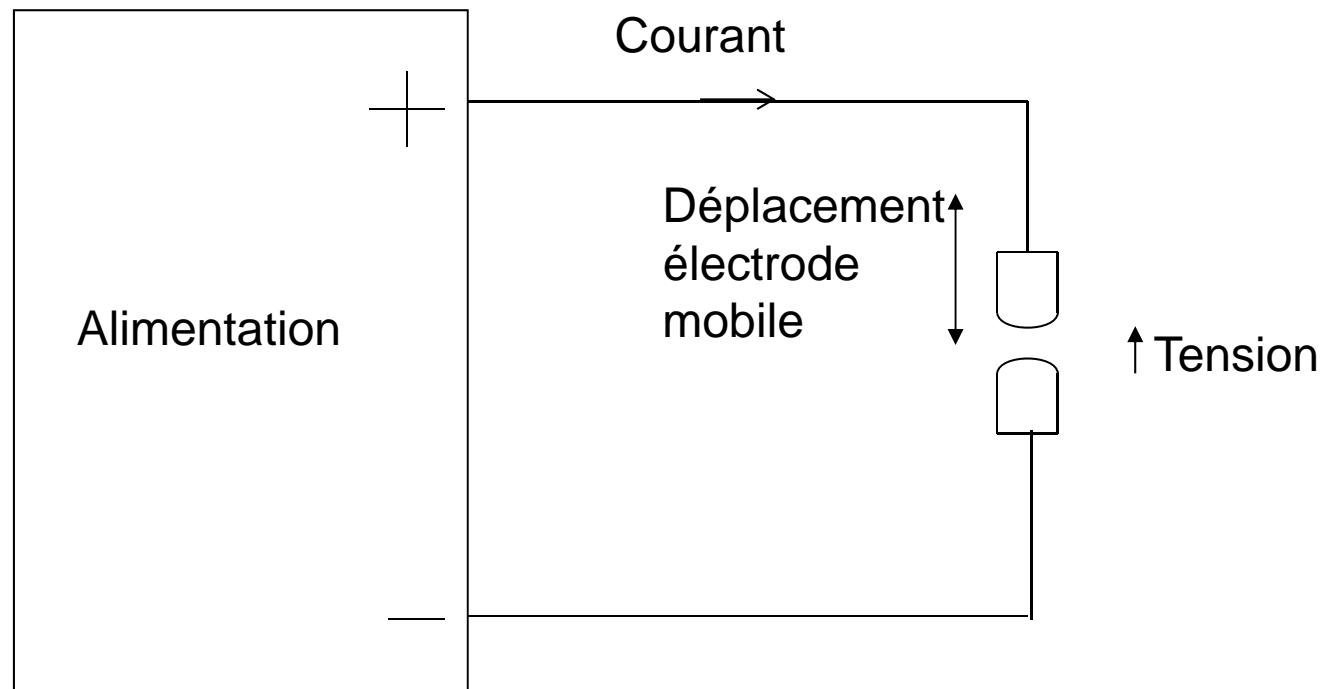
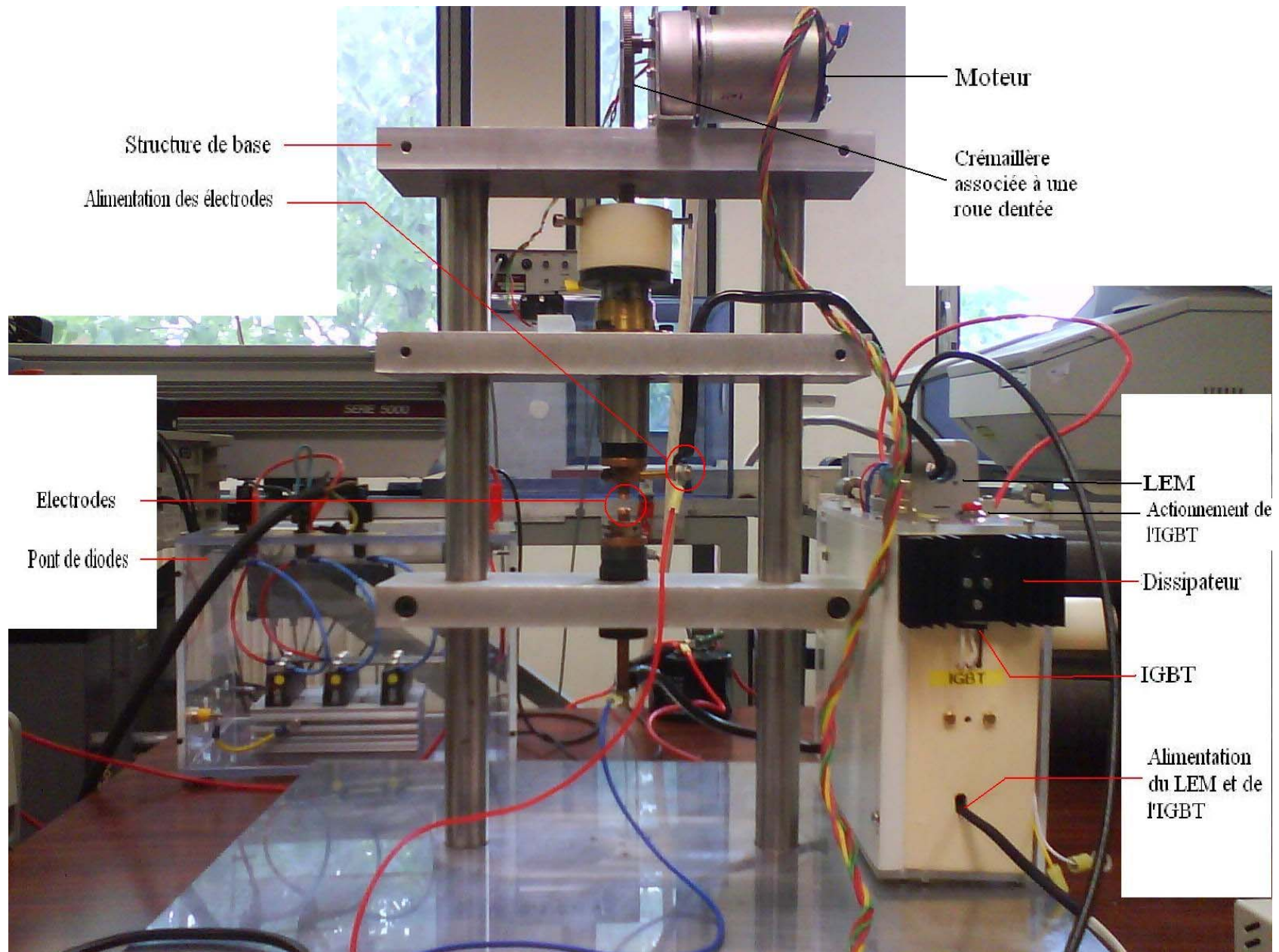


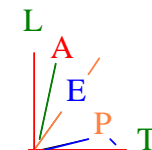
Schéma du projet



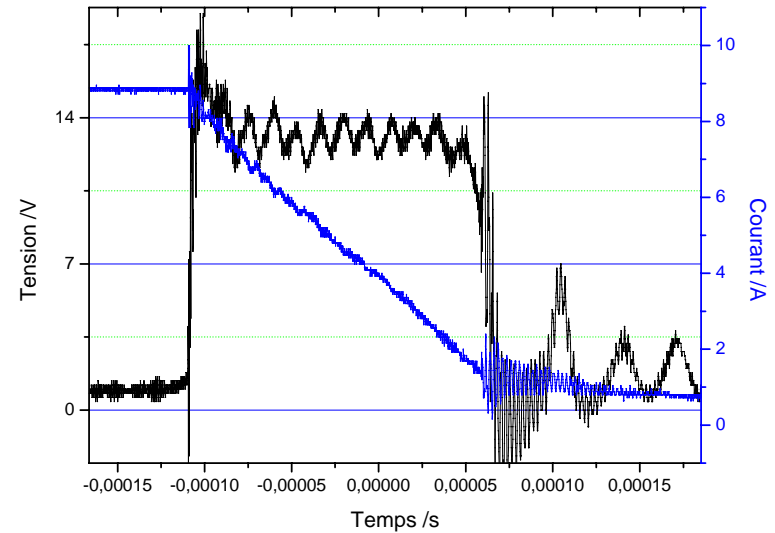
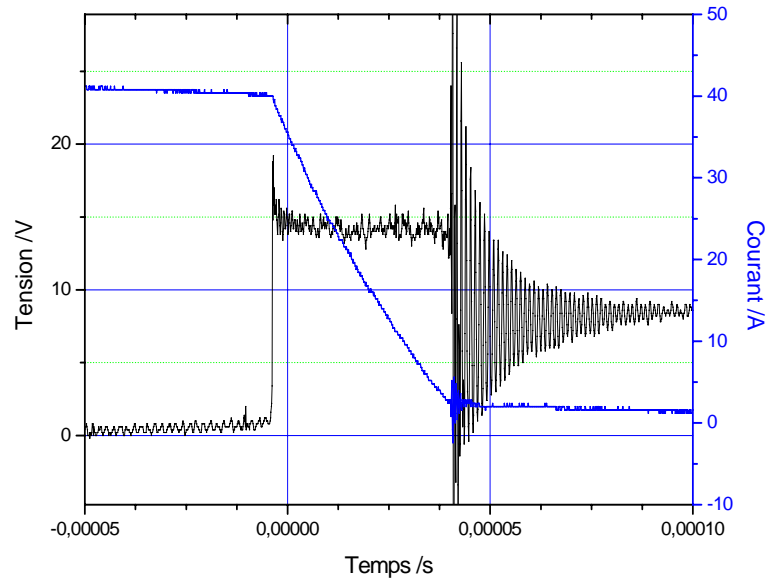


AAE 16 mars 2011

Laboratoire Arc Electrique
et Plasmas Thermiques

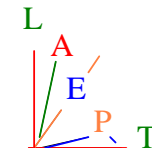


Ouverture des contacts

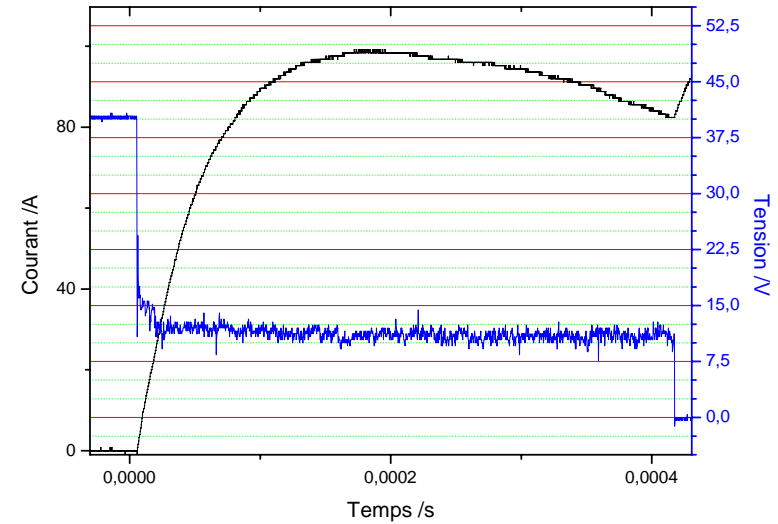
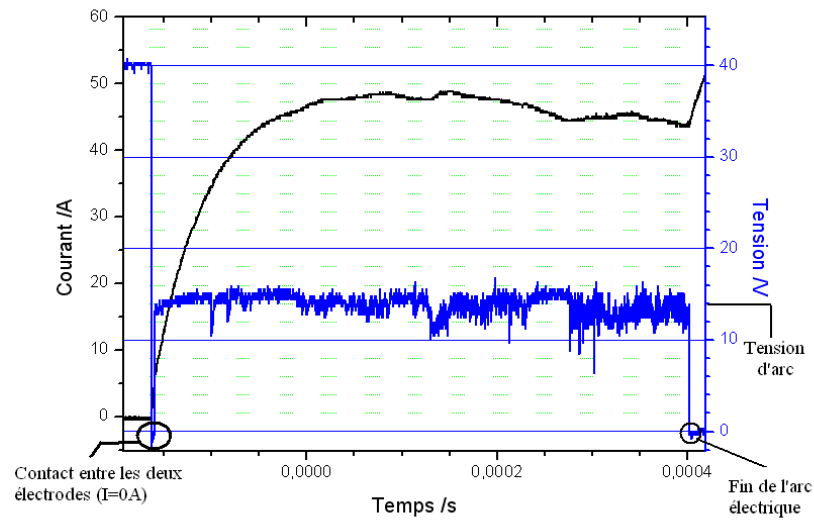


AAE 16 mars 2011

Laboratoire Arc Electrique
et Plasmas Thermiques

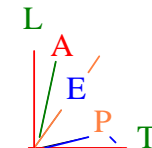


Fermeture des contacts

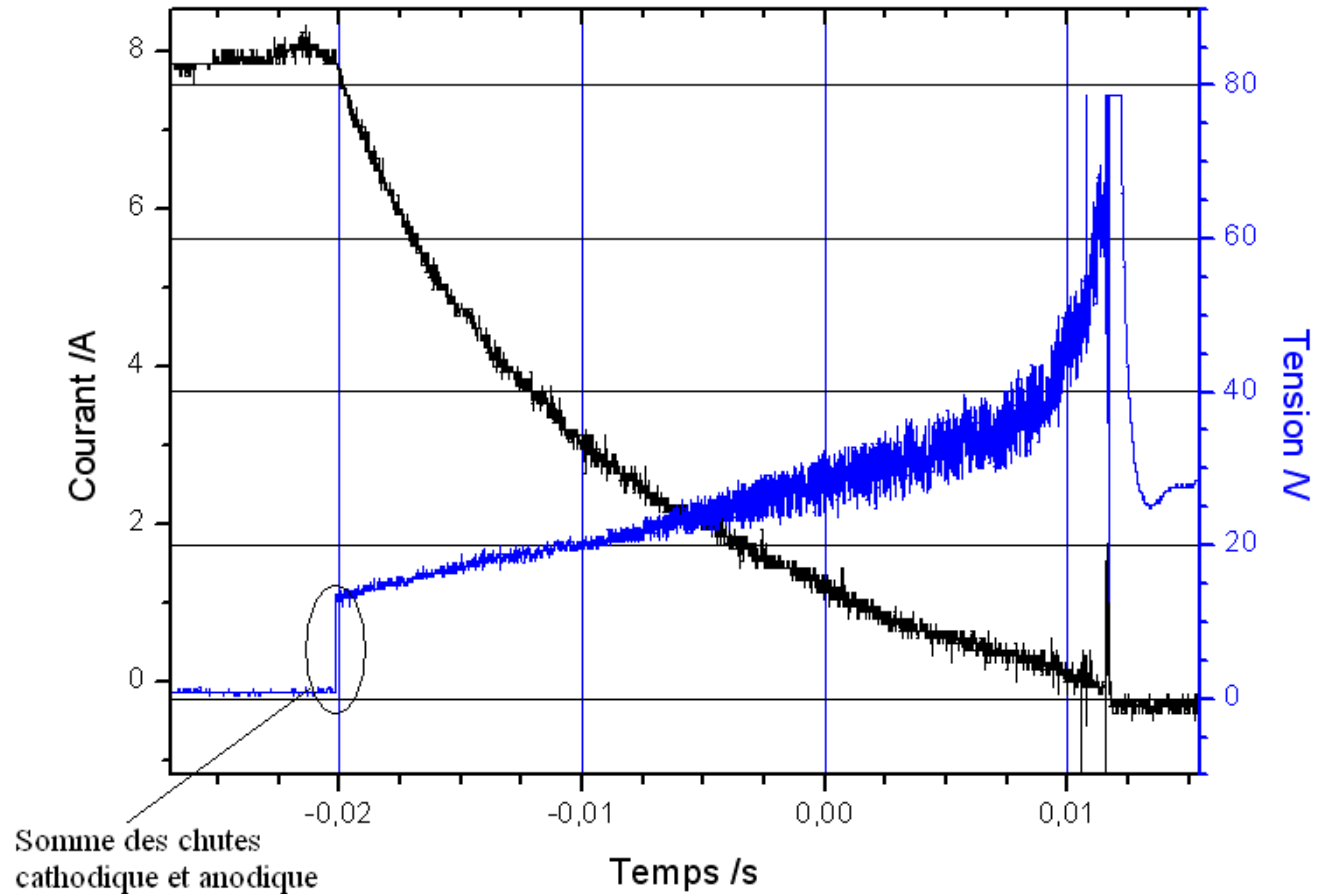


AAE 16 mars 2011

Laboratoire Arc Electrique
et Plasmas Thermiques

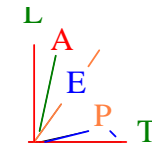


Analyse de la colonne

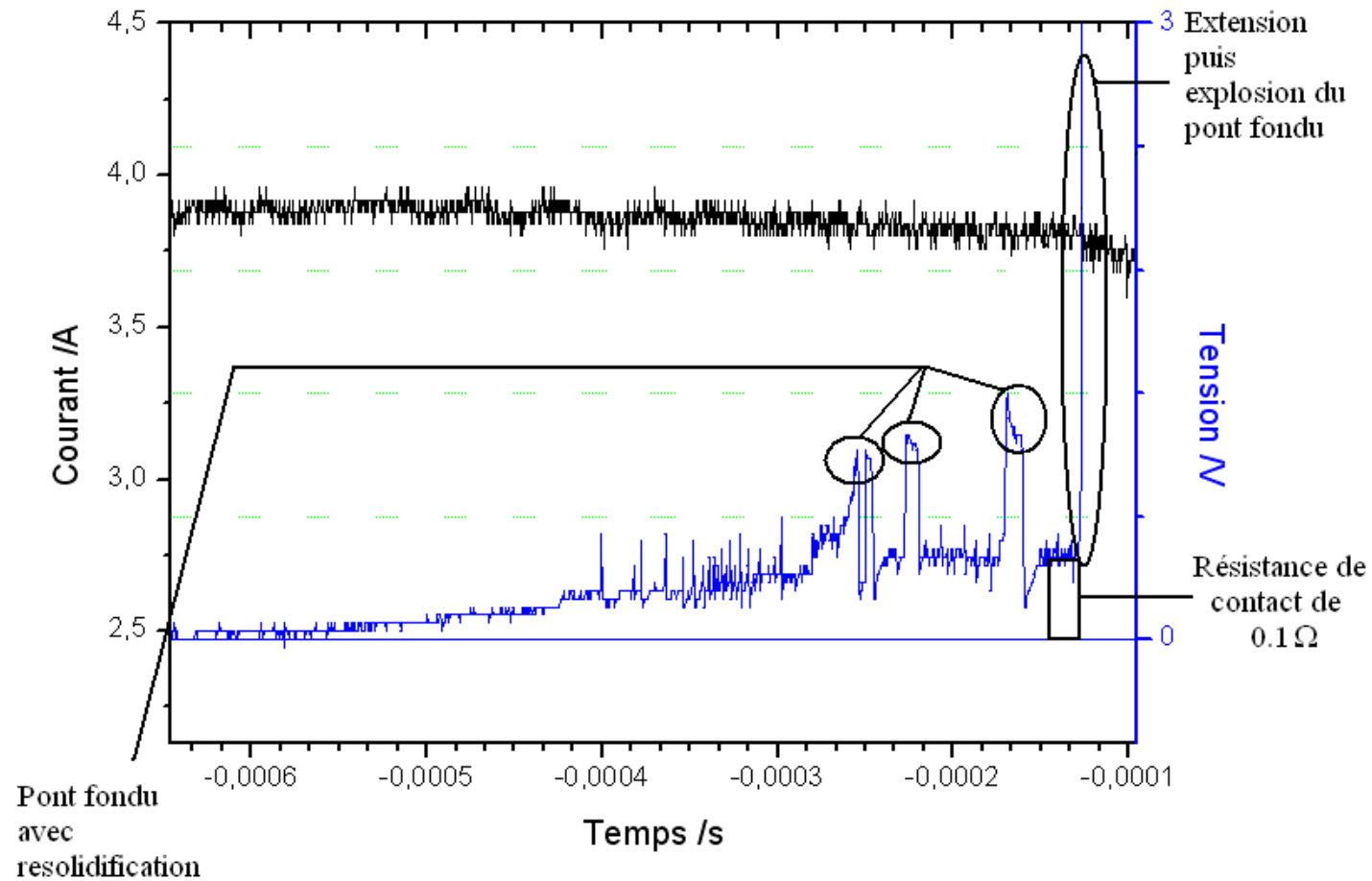


AAE 16 mars 2011

Laboratoire Arc Electrique
et Plasmas Thermiques

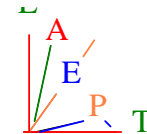


Ponts fondus



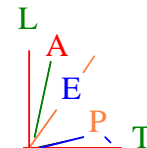
AAE 16 mars 2011

Laboratoire Arc Electrique
et Plasmas Thermiques



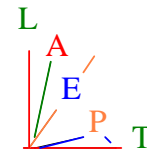
Conclusions

- Problèmes liés à l'alimentation électrique.



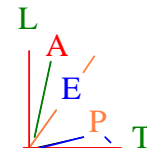
Conclusions

- Problèmes liés à l'alimentation électrique.
- Vitesse de séparation des contacts.



Conclusions

- Problèmes liés à l'alimentation électrique.
- Vitesse de séparation des contacts.
- Analyse des variations du courant et de la tension au moment de l'ouverture et de la fermeture avec une résolution en temps de l'ordre de la nanoseconde.



Conclusions

- Problèmes liés à l'alimentation électrique.
- Vitesse de séparation des contacts.
- Analyse des variations du courant et de la tension au moment de l'ouverture et de la fermeture avec une résolution en temps de l'ordre de la nanoseconde.
- Définition d'un protocole de mesure.

